

## ИССЛЕДОВАНИЕ СОРБЦИОННЫХ СВОЙСТВ СМЕСОВОЙ ЛЬНОСОДЕРЖАЩЕЙ ПРЯЖИ

### RESEARCH OF SORPTION PROPERTIES OF MIXED FLAX-CONTAINING YARN

А.С. ДЯГИЛЕВ, А.Г. КОГАН, П.В. МУРЫЧЕВ  
A.S. DYAGILEV, A.G. KOGAN, P.V. MURYCHEV

(Витебский государственный технологический университет)  
(Vitebsk State Technological University)  
E-mail: dygilev@gmail.com

*В работе предложена модель процесса сорбции смесовой пряжи, позволяющая проводить статистическую оценку параметров кривой сорбции, реализовать экспресс-метод оценки кривой сорбции; проводить критериальную оценку различия кривых сорбции.*

*The article presents the model of the process of mixed yarn sorption, which allows to make statistic estimation of the parameters of a sorption curve, to realize an express-method of the sorption curve estimation, to carry out criterion assessment of sorption curves difference.*

**Ключевые слова:** кривая сорбции, экспресс-метод оценки кривой сорбции, критериальная оценка различия кривых сорбции.

**Keywords:** a sorption curve, an express-method of sorption curve estimation, criterion estimation of sorption curves differences.

Для целей проектирования сорбционных свойств смесовой многокомпонентной пряжи необходимо разработать модели зависимости сорбционных свойств как для пряжи в целом, так и для ее отдельных компонентов.

Модель процесса сорбции должна с высокой степенью достоверности аппроксимации описывать экспериментальные данные и согласовываться со следующими теоретическим предпосылкам:

– в начале увлажнения момент времени  $t = 0$ , фактическая влажность волокнистого материала равна нулю:

$$W_\phi(t=0) = 0;$$

– фактическая влажность волокнистого материала асимптотически стремится к постоянной величине, предельной фактической влажности:

$$W_n = \lim_{t \rightarrow \infty} V_{W_\phi};$$

– скорость изменения фактической влажности максимальна в начальный момент времени и с течением времени стремится к нулю:

$$\lim_{t \rightarrow \infty} V_{W_\phi} = 0,$$

Приведенным требованиям удовлетворяет дробно рациональная функция:

$$W_\phi = \frac{t}{b_0 + b_1 t}, \quad (1)$$

где  $b_0$  и  $b_1$  – некоторые параметры модели.

Желательной является физическая интерпретация параметров модели. Для этого, разделив числитель и знаменатель выражения (1) на  $t$  и подставив  $t \rightarrow \infty$ , найдем

асимптоту, то есть предельную фактическую влажность:

$$W_n = \frac{1}{b_1}. \quad (2)$$

Продифференцировав выражение (1), получим скорость изменения фактической влажности:

$$V_{W_\phi} = \frac{\partial W_\phi}{\partial t} = \frac{1}{b_0 + b_1 t} - \frac{t b_1}{(b_0 + b_1 t)^2}. \quad (3)$$

где  $V_h$  – начальная скорость изменения фактической влажности, %/мин;  $W_n$  – предельная фактическая влажность, %.

Подставляя (2) и (4) в (1), получим динамическую модель зависимости фактической влажности с коэффициентами, имеющими физическую интерпретацию:

$$W_\phi = \frac{t}{1/V_h + t/W_n} = \frac{t V_h W_n}{W_n + t V_h}. \quad (6)$$

После проведения линеаризации модели (1) с помощью замены переменной  $y = t/W_\phi$ :

$$y = b_0 + b_1 t \quad (7)$$

оценки параметров модели  $b_0$  и  $b_1$  могут быть найдены методом наименьших квадратов [1]. После проведения тождественных преобразований получим формулы для нахождения оценки предельной фактической влажности:

$$W_n = \frac{1}{b_1} = \frac{\bar{t}^2 - \bar{t}^2}{\bar{t}^2/W_\phi - \bar{t}\bar{t}/W_\phi} \quad (8)$$

и начальной скорости изменения фактической влажности:

Скорость изменения фактической влажности максимальна в начальный момент времени  $V_h = V_{W_\phi}(t=0)$  и может быть определена с помощью оценки параметра  $b_0$  модели (1):

$$V_h = \frac{1}{b_0}. \quad (4)$$

Подставляя (2) и (4) в (3) получим модель скорости изменения фактической влажности с коэффициентами, имеющими физическую интерпретацию:

$$V_{W_\phi} = \frac{1}{1/V_h + t/W_n} = \frac{t/W_n}{(1/V_h + t/W_n)^2} = \frac{V_h W_n^2}{(W_n + t V_h)^2}, \quad (5)$$

$$V_h = \frac{1}{b_0} = \frac{1}{\bar{t}/W_\phi - \bar{t}/W_n}, \quad (9)$$

Таким образом, возможность линеаризации модели позволяет с помощью аппарата линейного регрессионного анализа получать точечные и интервальные оценки предельной фактической влажности  $W_n$  и начальной скорости изменения фактической влажности  $V_h$ , а также доверительные пределы для всей кривой сорбции с помощью методов линейного регрессионного анализа [1].

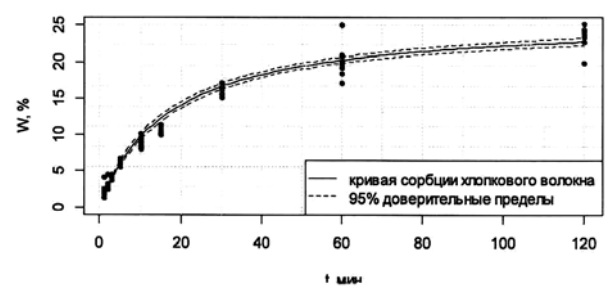


Рис. 1

На рис. 1 показаны оценка кривой сорбции для хлопкового волокна и ее 95%-ные доверительные пределы для среднего значения. Точечная оценка предельной фактической влажности хлопкового волокна  $W_n = 25,898\%$ , ее

95%-ный доверительный интервал  $W_{\pi} = (24,119-27,962)$ . Точечная оценка начальной скорости изменения фактической влажности хлопкового волокна  $V_h = 1,572$ , ее 95%-ный доверительный интервал  $V_h = (1,302-1,983)$ .

Коэффициент детерминации линеаризованной модели для хлопкового волокна  $R^2 = 0,993$ . Для статистической обработки экспериментальных данных использовались средства языка R [2].

Для оценки параметров линеаризованной модели (7) достаточно провести опыты для двух временных интервалов  $t_1$  и  $t_2$ . Это позволяет реализовать метод экспресс-оценки сорбционных свойств волокнистого материала по двум кратковременным опытам.

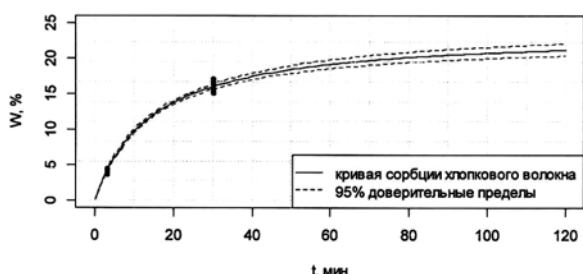


Рис. 2

На рис. 2 приведена оценка кривой сорбции котонизированного льняного волокна по опытам для двух временных интервалов:  $t_1 = 3$  мин,  $t_2 = 30$  мин. При экспресс-оценке кривой сорбции характерно, что чем дальше по времени делается экстраполяция, тем шире доверительные пределы и тем меньше надежность прогнозной оценки.

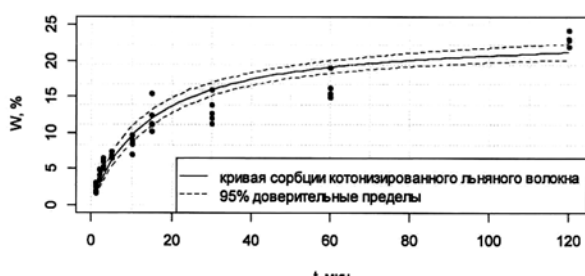


Рис. 3

На рис. 3 показаны аппроксимирующая функция кривой сорбции для

котонизированного льняного волокна и ее 95%-ные доверительные пределы. Точечная оценка предельной фактической влажности льняного волокна  $W_{\pi} = 23,969\%$ , ее 95%-ный доверительный интервал  $W_{\pi} = (20,311-29,232)$ . Точечная оценка начальной скорости изменения фактической влажности льняного волокна  $V_h = 1,554$ , ее 95%-ный доверительный интервал  $V_h = (1,009-3,381)$ . Коэффициент детерминации линеаризованной модели котонизированного льняного волокна  $R=0,961$ .

Важной с практической точки зрения задачей является оценка различия не только отдельных параметров кривой сорбции, но и оценка структурного различия кривых сорбции в целом. Для сравнения процессов сорбции котонизированного льняного волокна и хлопкового волокна приведем оценки зависимости скорости изменения фактической влажности (рис. 4), построенные согласно выражению (6).

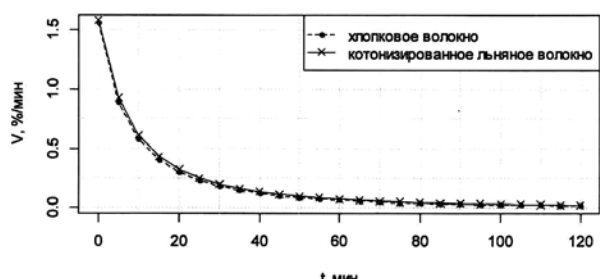


Рис. 4

Как видно из рис. 4, зависимости скорости изменения фактической влажности котонизированного льняного и хлопкового волокна близки друг к другу. Близки друг к другу и оценки параметров модели сорбции. Однако кроме визуального сравнения кривых сорбции необходимо иметь возможность критериальной оценки их различия. Так как предложенная модель кривой сорбции (7) линеаризуема с помощью замены переменной (8), то для оценки различия кривых сорбции может использоваться критерий Чоу [3], широко применяемый при решении эконометрических задач для оценки структурных различий между

линейными регрессионными моделями.

В условиях РУПТП "Оршанский льнокомбинат" на пневмомеханической прядильной машине Rieter R 40 были наработаны образцы пряжи различного сырьевого состава линейной плотностью 50 текс. Для исследования сорбционных

свойств образцов в лабораторных условиях ВГТУ наработаны образцы ткани полотняного переплетения. Точечные и интервальные оценки параметров модели сорбции (6) для ткани различного сырьевого состава приведены в табл. 1.

Т а б л и ц а 1

Сырьевой состав смесовой пряжи	Коэффициент детерминации линеаризованной модели	Предельная фактическая влажность $W_n, \%$	Скорость изменения фактической влажности $V_n, \%/\text{мин}$
Хлопок 100%	0,989	25,520 (22,798-28,979)	1,523 (1,109-2,428)
Лен 45 % Хлопок 27,5% Полиэфир 27,5 %	0,989	23,359 (20,904-26,469)	1,498 (1,074-2,474)
Лен 60 % Хлопок 40 %	0,982	25,69 (22,290-30,314)	1,313 (0,932-2,218)
Лен 50 % Хлопок 50 %	0,981	25,802 (22,240-30,723)	1,345 (0,936-2,389)
Лен 100%	0,972	24,088 (20,195-29,841)	1,328 (0,853-2,995)

Как видно из табл. 1, параметры кривых сорбции для образцов ткани из пряжи различного сырьевого состава близки друг к другу, а их доверительные интервалы пересекаются. Сравнение кривых сорбции образцов ткани различного сырьевого состава проводилось на основе

линеаризованных данных с помощью критерия Чоу. Достигаемый уровень значимости критерия Чоу при оценке однородности кривых сорбции для ткани различного сырьевого состава приведен в табл. 2.

Т а б л и ц а 2

Сырьевой состав смесевой пряжи	I	II	III	IV	V
I. Хлопок 100%	1				
II. Лен 45 % Хлопок 27,5 % Полиэфир 27,5 %	0,236	1			
III. Лен 60 % Хлопок 40 %	0,723	0,450	1		
IV. Лен 50 % Хлопок 50 %	0,751	0,355	0,982	1	
V. Лен 100%	0,427	0,901	0,766	0,65	1

Как видно из табл. 2, достигаемый уровень значимости критерия Чоу при сравнении всех вариантов наработанной ткани  $p-value > 0,05$ . Таким образом, нет оснований для отклонения нулевой гипотезы о совпадении кривых сорбции исследованных образцов ткани. При этом остальные физико-механические показатели наработанных образцов пряжи могут не совпадать между собой и, следовательно, при разработке оптимального состава смеси волокон можно сосредоточиться на других критериях оптимизации.

## В Й В О Д Ы

Предложена модель процесса сорбции, которая описывает динамику фактической влажности смесевой льносодержащей пряжи. Модель позволяет построить кривую сорбции, ее доверительные пределы при проведении опытов для двух временных интервалов.

## Л И Т Е Р А Т У Р А

- Дягилев А.С., Коган А.Г. Методы и средства исследований технологических процессов: Учебное пособие. – Витебск: ВГТУ, 2012.

2. R Development Core Team (2009). R: A language and environment for statistical computing. R Foundation for Statistical Computing, Vienna, Austria. ISBN 3-900051-07-0, URL <http://www.R-project.org>

3. Бородич С.А. Эконометрика. – Минск: Новое знание, 2001.

Рекомендована кафедрой прядения натуральных и химических волокон. Поступила 29.11.12.

УДК 667.017

## ИССЛЕДОВАНИЕ МЕХАНИЧЕСКИХ СВОЙСТВ ИГЛОПРОБИВНЫХ ГЕОТЕКСТИЛЬНЫХ НЕТКАНЫХ ПОЛОТЕН

### RESEARCH OF MECHANICAL PROPERTIES OF NEEDLE-PUNCHED GEOTEXTILE NONWOVEN FABRICS

A.B. ДЁМКИНА, А.В. КУРДЕНКОВА, Ю.С. ШУСТОВ, Н.А. ВОРОБЬЕВА  
A.V. DYOMKINA, A.V. KURDENKOVA, Y.S. SHUSTOV, N.A. VOROBYOVA

(Московский государственный текстильный университет им. А.Н. Косыгина)  
(Moscow State Textile University "A.N. Kosygin")  
E-mail: sys@staff.msta.ac.ru

*В работе проведено исследование влияния скорости растяжения на механические свойства иглопробивных геотекстильных нетканых полотен и получены математические зависимости.*

*The paper presents the research of stretching speed influence on mechanical properties of needle-punched geotextile nonwoven fabrics and the mathematical dependences have been received.*

**Ключевые слова:** иглопробивные геотекстильные нетканые полотна, растяжение, механические свойства, скорость растяжения, математические зависимости.

**Keywords:** needle-punched geotextile nonwoven fabrics, stretching, mechanical properties, stretching speed, mathematical dependences.

В качестве объектов исследования были выбраны геотекстильные нетканые материалы, а именно нетканые иглопробивные полотна, выработанные из полизэфирных волокон. Данные полотна применяются для дорожного строитель-

ства и благоустройства, выполняют функции армирования и дренирования земляного полотна.

Характеристики испытываемых образцов представлены в табл. 1.

Таблица 1

Наименование показателей	Образцы					
	1	2	3	4	5	6
Толщина, мм	1,40	1,42	1,51	1,33	1,53	1,46
Поверхностная плотность, г/м <sup>2</sup>	200	200	200	240	250	280
Средняя плотность, мг/мм <sup>3</sup>	0,143	0,141	0,132	0,150	0,131	0,137
Объемное заполнение, %	20,4	20,1	18,9	21,4	18,7	19,6
Объемная пористость, %	79,6	79,9	81,1	78,6	81,3	80,4
Общая пористость, %	89,0	89,2	89,8	88,5	89,9	89,5